

# 关于蓝藻 CO<sub>2</sub>浓缩机制运转影响的模拟分析\*

付 翔<sup>1</sup> 韩博平<sup>1,2</sup>

(<sup>1</sup>暨南大学水生生物研究所 广州 510632)

(<sup>2</sup>中国科学院海洋研究所 青岛 266071)

**摘要** 通过数学模型模拟的方法,分析了蓝藻 CO<sub>2</sub>浓缩机制(简称CCM)对光强变化的响应规律。CCM运转时的关键步骤——无机碳(简称Ci)转运所需的能量来自于光系统,其活动强度与光强密切相关。以此为基础,本文建立了具外部Ci浓度和光强两个变量的数学模型。计算表明:(1)光合速率和浓缩效率随着光强的增加而增加;(2) Ci泵的特征光能利用率的变化对CCM的行为有显著的影响。

**关键词** CO<sub>2</sub>浓缩机制(CCM),模型,光强

CO<sub>2</sub>浓缩机制(CO<sub>2</sub> concentrating mechanism,简称CCM)是某些水生植物为保证其光合作用的碳源供应所形成的提高细胞内CO<sub>2</sub>浓度的生理机制<sup>[1]</sup>。要正确地估计大气CO<sub>2</sub>浓度上升等对海洋初级生产力的影响,必须考虑到CCM在其中的功能和作用<sup>[2]</sup>,因此,CCM及相关课题近年来倍受关注。蓝藻是典型的CCM生物,其CCM机理得到了详尽的研究,并在最近10 a中取得了显著进展<sup>[3,4]</sup>。1987年Reinhold等提出的羧化体模型,十分成功地从原理上阐明了蓝藻CCM的基本过程<sup>[5]</sup>。此模型由3个假设组成:

(1)位于细胞膜上的Ci泵(包括CO<sub>2</sub>泵和HCO<sub>3</sub><sup>-</sup>泵),将细胞外的CO<sub>2</sub>和HCO<sub>3</sub><sup>-</sup>主动转运到细胞内。无论Ci泵以何种形式的Ci为底物,释放到细胞内的是HCO<sub>3</sub><sup>-</sup>。(2)Ci在细胞内的主要存在形式是HCO<sub>3</sub><sup>-</sup>,细胞质内无碳酐酶(Carbonic anhydrase,简称CA),HCO<sub>3</sub><sup>-</sup>与CO<sub>2</sub>处于不平衡状态,因为HCO<sub>3</sub><sup>-</sup>是离子,细胞膜对它的通透性比CO<sub>2</sub>低得多,从而降低Ci的泄漏。(3)CA和Rubisco全部位于羧化体内,在CA的催化作用下,HCO<sub>3</sub><sup>-</sup>和CO<sub>2</sub>在羧化体内进行快速转换,由高浓度的HCO<sub>3</sub><sup>-</sup>在Rubisco的活性位点附近生成高浓度的CO<sub>2</sub>而使其固定反应以较快的速度进行(参见图1)。

实验证据表明,用于Ci主动运输所消耗的能量是由光系统提供的,光系统的活动对于Ci转运必不可少<sup>[6]</sup>。因此,Ci泵的转运能力将受能量供应状况的影响而与光照强度密切相关<sup>[7]</sup>,进而整个CCM

过程的运转效率也与光强相关。对光强变化的反应规律是CCM的重要性质之一,这方面的信息对于研究CCM的供能机理具有十分重要的意义。然而,目前这一领域的研究却仍然十分缺乏,这与相关实验技术仍然难以达到要求有关。本文在Reinhold的CCM模型基础上引入了光强变量,试图通过模型模拟的方法,初步探讨光强变化对蓝藻CCM的影响。

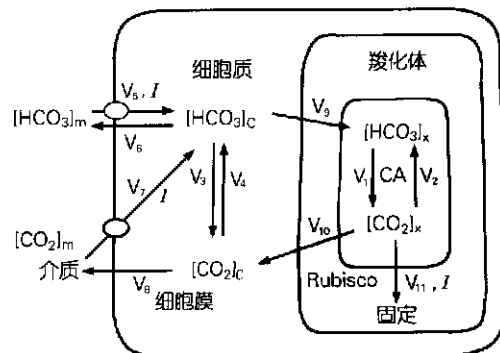


图1 蓝藻CCM羧化体模型的物流和分室

物流在图中以箭头表示,其中的光相关过程以较粗的箭头表示。下标m,c,x分别代表介质(medium),细胞质(cytoplasm)及羧化体(carboxysome)。羧化体在图中只示出一个。

Fig. 1 Fluxes and compartments in the cyanobacterial CCM model

\* 中国科学院百人计划资助项目。

收稿日期:2001-08-09;修回日期:2001-10-10

# 1 模型

## 1.1 模型假设

模型包含两个分室(图1):细胞质和羧化体。形态学上的数据基于多变鱼腥藻(*Anabaena variabilis*)。为计算方便,假定细胞为球形,细胞半径 $r_c$ 为 $1.77 \mu\text{m}$ ,由此计算得细胞膜的面积 $A$ 为 $39.3 \mu\text{m}^2$ ,细胞体积 $V$ 为 $23.2 \mu\text{m}^3$ 。假定羧化体有六个并位于细胞中心,羧化体的结构为:CA位于羧化体的中心区域(其半径 $r_1 = 0.01 \mu\text{m}$ ),催化形成高浓度的 $\text{CO}_2$ ;而Rubisc形成外层,在 $\text{CO}_2$ 向羧化体外扩散的过程中将其固定并形成较高的 $\text{CO}_2$ 渗透阻力,羧化体半径 $r_2 = 0.2 \mu\text{m}$ 。 $\text{CO}_2$ 及 $\text{HCO}_3^-$ 在各个分室中为均匀分布。设细胞内pH为7.6,而细胞外pH为8.0。

模型中涉及的物流过程包括:

- (1) 在细胞膜上, $\text{HCO}_3^-$ 和 $\text{CO}_2$ 的主动转运( $v_5, v_7$ ); $\text{HCO}_3^-$ 和 $\text{CO}_2$ 的自由扩散( $v_6, v_8$ )。
- (2) 在细胞质内, $\text{CO}_2$ 与 $\text{HCO}_3^-$ 之间的非催化自发转化( $v_3, v_4$ )。
- (3) 在羧化体内, $\text{HCO}_3^-$ 由细胞质扩散进入羧化体( $v_9$ ); $\text{CO}_2$ 由羧化体扩散进入细胞质( $v_{10}$ ); $\text{CO}_2$ 与 $\text{HCO}_3^-$ 在CA催化下的相互转化( $v_1, v_2$ )以及 $\text{CO}_2$ 的固定( $v_{11}$ )。

$\text{Ci}$ 泵的转运能力可以其最大转运速率为指标,假定 $\text{Ci}$ 泵的最大转运速率与光强之间满足一定的函数关系,从而在模型中引入了光强变量。

## 1.2 模型的公式化

$\text{HCO}_3^-$ 的转运可用米氏方程描述:

$$v_5 = \frac{V_{ba}[\text{HCO}_3^-]_m}{[\text{HCO}_3^-]_m + K_b} \quad (1)$$

其中 $K_b$ 为 $\text{HCO}_3^-$ 泵的米氏常数( $80 \mu\text{mol} \cdot \text{L}^{-1}$ ), $V_{ba}$ 为一定光强下 $\text{HCO}_3^-$ 泵的实际最大转运速率。假定 $V_{ba}$ 与光强之间满足下述函数关系:

$$V_{ba} = \frac{a_b I}{(1 + a_b^2 I^2 / V_b^2)^{1/2}} \quad (2)$$

其中 $V_b$ 为 $\text{HCO}_3^-$ 泵的潜在最大转运速率( $1.6 \times 10^{-11} \mu\text{mol C} \cdot \text{cell}^{-1} \cdot \text{s}^{-1}$ ), $I$ 为光强, $a_b$ 为一参数,其大小反映了 $\text{HCO}_3^-$ 泵间接利用光能的能力,称之为特征光能利用率(由于目前尚未见有关蓝藻此值的报道,此处其取值与Chen等在黑藻C<sub>4</sub>途径的模型中所用的值相同( $0.09 \mu\text{mol C} \cdot \mu\text{mol}$

$\text{q}^{-1}$ , $\text{q}$ 为光量子)。可以看出,随着光强的增大, $V_{ba}$ 逐渐趋近于 $V_b$ 。

$\text{CO}_2$ 在转运过程中,同时被转化为 $\text{HCO}_3^-$ ,同样用米氏方程描述此过程:

$$v_7 = \frac{V_{ca}[\text{CO}_2]_m}{[\text{CO}_2]_m + K_c} \quad (3)$$

式中 $K_c$ 为 $\text{CO}_2$ 泵的米氏常数( $0.4 \mu\text{mol} \cdot \text{L}^{-1}$ ), $V_{ca}$ 为一定光强下 $\text{CO}_2$ 泵的实际最大转运速率,它与光强的关系为:

$$V_{ca} = \frac{a_c I}{(1 + a_c^2 I^2 / V_c^2)^{1/2}} \quad (4)$$

其中 $a_c$ 为 $\text{CO}_2$ 泵的特征光能利用率(也取 $0.09 \mu\text{mol C} \cdot \mu\text{mol q}^{-1}$ ), $V_c$ 为 $\text{CO}_2$ 泵的潜在最大转运速率( $2.8 \times 10^{-11} \mu\text{mol C} \cdot \text{cell}^{-1} \cdot \text{s}^{-1}$ )。

$\text{HCO}_3^-$ 与 $\text{CO}_2$ 在细胞膜上的沿浓度梯度的被动扩散过程可用扩散定律来描述:

$$v_6 = P_H A ([\text{HCO}_3^-]_c - [\text{HCO}_3^-]_m) \quad (5)$$

$$v_8 = P_C A ([\text{CO}_2]_c - [\text{CO}_2]_m) \quad (6)$$

其中 $P_H$ 和 $P_C$ 分别为细胞膜对 $\text{HCO}_3^-$ 及 $\text{CO}_2$ 的渗透系数(其值分别为 $0.3 \times 10^{-2} \mu\text{m} \cdot \text{s}^{-1}$ 及 $3.5 \times 10^3 \mu\text{m} \cdot \text{s}^{-1}$ ), $A$ 为细胞膜的表面积。

细胞质中的 $\text{CO}_2$ 和 $\text{HCO}_3^-$ 之间会自发地相互转换:

$$v_3 = k_1 V [\text{HCO}_3^-]_c \quad (7)$$

$$v_4 = k_2 V [\text{CO}_2]_c \quad (8)$$

其中 $k_1$ 为 $\text{HCO}_3^-$ 的脱水速率而 $k_2$ 为 $\text{CO}_2$ 的水合速率(胞内pH值为7.6时,其值分别为 $2.63 \times 10^{-3} \text{ s}^{-1}$ 及 $37.2 \times 10^{-3} \text{ s}^{-1}$ )。 $V$ 为细胞体积。

$\text{HCO}_3^-$ 扩散进入羧化体中心的CA区域需经过Rubisc层,这个过程可用球体中的三维扩散方程来表示:

$$v_9 = N \frac{4\pi D_{xH} r_1 r_2 ([\text{HCO}_3^-]_c - [\text{HCO}_3^-]_x)}{r_2 - r_1} \quad (9)$$

其中 $N$ 为一个细胞中的羧化体个数(假定为6), $D_{xH}$ 为 $\text{HCO}_3^-$ 在Rubisc层中的扩散系数( $2.1 \mu\text{m}^2 \cdot \text{s}^{-1}$ ), $r_1$ 和 $r_2$ 分别为CA区域及羧化体的半径。

$\text{CO}_2$ 从羧化体扩散到细胞质中的过程也可用这个方程表示:

$$v_{10} = N \frac{4\pi D_{xc} r_1 r_2 ([\text{CO}_2]_x - [\text{CO}_2]_c)}{r_2 - r_1} \quad (10)$$

$D_{xc}$ 为 $\text{CO}_2$ 在Rubisc中的扩散系数(取值为 $23.5 \mu\text{m}^2 \cdot \text{s}^{-1}$ )。

在羧化体内部由 CA 催化的  $\text{HCO}_3^-$  和  $\text{CO}_2$  之间的相互转化可用下式来描述：

$$v_1 = \frac{V_{bc} K_{cc} [\text{HCO}_3^-]_x}{K_{bc} K_{cc} + K_{cc} [\text{HCO}_3^-]_x + K_{bc} [\text{CO}_2]_x} \quad (11)$$

$$v_2 = \frac{V_{cc} K_{bc} [\text{CO}_2]_x}{K_{bc} K_{cc} + K_{cc} [\text{HCO}_3^-]_x + K_{bc} [\text{CO}_2]_x} \quad (12)$$

其中  $V_{bc}$  和  $V_{cc}$  分别为 pH 7.6 时, CA 催化的  $\text{HCO}_3^-$  脱水及  $\text{CO}_2$  水合反应的最大速率 ( $V_{cc}$  取为  $8 \times 10^{-10} \mu\text{mol C} \cdot \text{cell}^{-1} \cdot \text{s}^{-1}$ ,  $V_{bc} = 1.18 V_{cc}$ )。  $K_{bc}$  和  $K_{cc}$  则分别为 CA 对  $\text{HCO}_3^-$  和  $\text{CO}_2$  的半饱和常数(其值分别取  $30.133 \mu\text{mol} \cdot \text{L}^{-1}$  及  $1.800 \mu\text{mol} \cdot \text{L}^{-1}$ )。

$\text{CO}_2$  的固定在不同的光照条件下由不同的反应步骤限制。在光线充足时, 羧化酶催化的羧化反应是限速步骤, 而在光线不足时, 提供还原力和能量的光反应速率将成为限速步骤。由于 CCM 的存在, 蓝藻的光呼吸作用很小, 在此忽略  $\text{O}_2$  的影响。因此有:

$$v_{11} = \min(v_f, v_g) \quad (13)$$

$v_{11}$  表示取二者中的小者。 $v_f$  及  $v_g$  分别代表一定光照条件下  $\text{CO}_2$  羧化反应和光反应的速率:

$$v_f = \frac{V_p [\text{CO}_2]_x}{[\text{CO}_2]_x + K_f} \quad (14)$$

$V_p$  为单个细胞的最大羧化反应速率 ( $8 \times 10^{-12} \mu\text{mol C} \cdot \text{s}^{-1}$ ),  $K_f$  为 Rubisco 对  $\text{CO}_2$  的半饱和常数 ( $250 \mu\text{mol} \cdot \text{L}^{-1}$ )。

光反应速率决定于光合电子传导速率:

$$v_g = \frac{aI}{(1 + a^2 I^2 / J_m^2)^{1/2}} \quad (15)$$

式中  $a$  为量子效率 ( $0.05 \mu\text{mol C} \cdot \mu\text{mol q}^{-1}$ ),  $J_m$  为电子传导的潜在最大速率(取  $8 \times 10^{-12} \mu\text{mol C} \cdot \text{cell}^{-1} \cdot \text{s}^{-1}$ )。

至此, 整个系统可由  $\text{HCO}_3^-$  和  $\text{CO}_2$  在各个分室的浓度变化的微分方程组来表示:

$$d[\text{CO}_2]_x/dt = (v_1 - v_2 - v_{10} - v_{11})/V_x$$

$$d[\text{HCO}_3^-]_x/dt = (v_2 + v_9 - v_1)/V_x$$

$$d[\text{CO}_2]_c/dt = (v_3 + v_{10} - v_4 - v_8)/V_c$$

$$d[\text{HCO}_3^-]_c/dt = (v_4 + v_5 + v_7 - v_3 - v_6 - v_9)/V_c$$

此处  $V_x$  和  $V_c$  分别代表羧化体和细胞质体积。

## 2 结果与讨论

作者用 Turbo C 编制程序, 模拟了上述系统在

各种  $\text{Ci}$  条件 ( $[\text{Ci}]_m = 10 \mu\text{mol} \cdot \text{L}^{-1}, 20 \mu\text{mol} \cdot \text{L}^{-1}, 50 \mu\text{mol} \cdot \text{L}^{-1}$  及  $500 \mu\text{mol} \cdot \text{L}^{-1}$ , pH 8.0 时,  $[\text{CO}_2]_m = 2.3\% [\text{Ci}]_m$ ) 下对光强变化 ( $0 \sim 15 \times 10^{-4} \text{ E} \cdot \text{m}^{-2} \cdot \text{s}^{-1}$ ) 的反应, 所给出的结果均为稳态解。

### 2.1 生理反应

图 2, 3, 4 为模型预测的某些生理量 ( $\text{Ci}$  通量, 浓缩效率和光合速率) 随光强的变化。

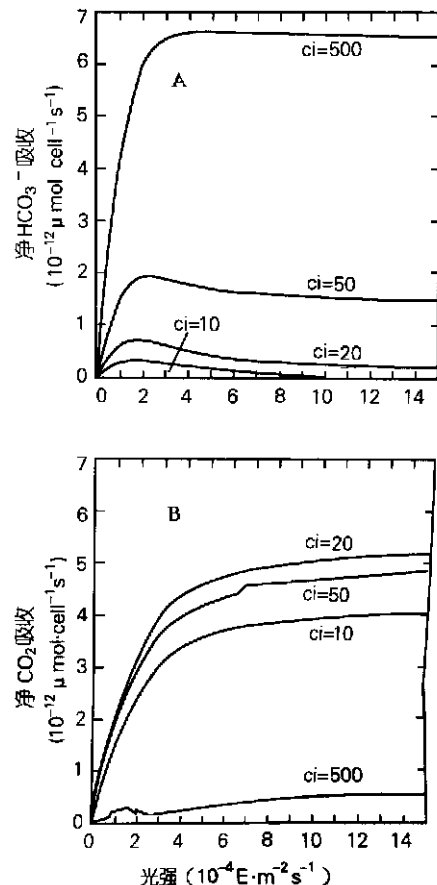


图 2 净  $\text{Ci}$  吸收( $\text{HCO}_3^-$ (A),  $\text{CO}_2$ (B))随光强的变化

Fig. 2 Variations of net  $\text{Ci}$  uptake ( $\text{HCO}_3^-$  (A),  $\text{CO}_2$  (B)) following the change of light intensity

$\text{HCO}_3^-$  和  $\text{CO}_2$  的净吸收通量随光强的变化曲线明显不同。各种  $\text{Ci}$  浓度下, 净  $\text{HCO}_3^-$  吸收在光强约为  $2 \times 10^{-4} \text{ E} \cdot \text{m}^{-2} \cdot \text{s}^{-1}$  时达到最大值, 之后随光强的增加而减小(图 2A)。而净  $\text{CO}_2$  吸收则随光强的增加一直呈上升的趋势(图 2B)。造成这种现象的原因是  $\text{HCO}_3^-$  转运比  $\text{CO}_2$  转运在较小的光强下趋于饱和。

细胞内外  $\text{Cl}^-$  浓度之比可看作 CCM 的浓缩效率。当光强增加时, 浓缩效率增高, 而当外部  $\text{Cl}^-$  浓度增加时, 浓缩效率降低(图 3)。

光合速率在较低光强时对光敏感, 同时亦非常迅速地达到饱和(图 4)。

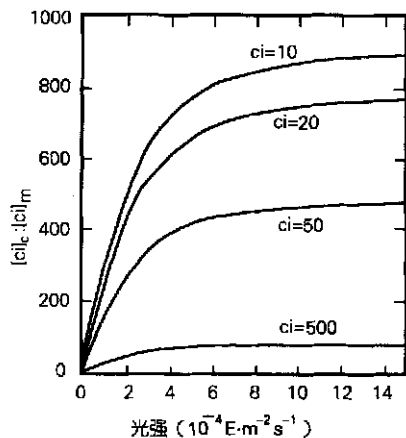


图 3 浓缩效率(细胞内外  $\text{Cl}^-$  浓度比)随光强的变化

Fig. 3 Variations of the concentrating efficiency (the ratio between the internal and external  $\text{Cl}^-$  concentrations) following the change of light intensity

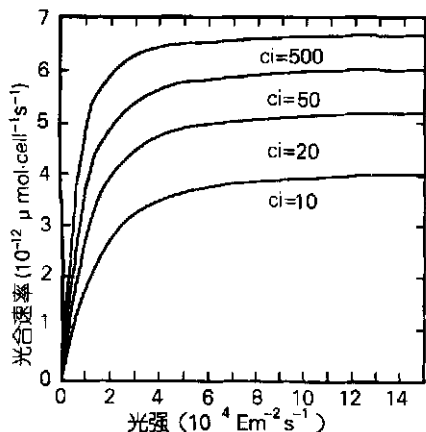


图 4 光合速率随光强的变化

Fig. 4 Variations of the photosynthesis rate following the change of light intensity

## 2.2 特征光能利用率的灵敏度检验

转运系统通过光系统间接地利用光能, 其利用光能的能力可用特征光能利用率  $a_b$  和  $a_c$  为指标。由方程(2)和方程(4)可以看出, 在一定的光强下, 特

征光能利用率越高, 则实际最大转运速率( $V_u$  或  $V_m$ )就越接近潜在最大转运速率( $V_t$  或  $V_c$ ), 也就意味着得到了更多的能量供应。

由于缺乏实验数据, 在模型中使用的  $a_b$  和  $a_c$  值都是估计值, 与 Chen 等在黑藻(*Hydrilla*)C<sub>4</sub> 途径的模型中所用的值相同。虽然蓝藻与其属于不同的生物类群, 但作者认为在此值上它们应当在同一个数量级。 $a_b$  和  $a_c$  的取值在一定范围内变化对光合速率的影响见图 5。可以看出, 系统对此值的变化反应相当灵敏, 特别是在中等强度的光强时( $2 \times 10^{-4} \sim 6 \times 10^{-4} \text{ E} \cdot \text{m}^{-2} \cdot \text{s}^{-1}$ )影响尤为显著。图 5 的背景  $\text{Cl}^-$  浓度为  $10 \mu\text{mol} \cdot \text{L}^{-1}$ , 其他  $\text{Cl}^-$  浓度下所得的结果与此图相似。

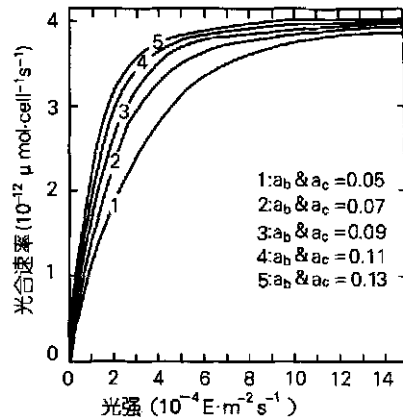


图 5  $a_b$  和  $a_c$  值的变化对光合速率的影响

Fig. 5 The impacts of the variations of the value of  $a_b$  and  $a_c$

## 2.3 能量在 $\text{Cl}^-$ 泵间的分配

在此前的模拟中,  $a_b$  和  $a_c$  取值相等(都为  $0.09 \mu\text{molC} \cdot \mu\text{molq}^{-1}$ ), 这意味着默认  $\text{HCO}_3^-$  泵和  $\text{CO}_2$  泵有相同的光能利用效率, 然而实际上它们很可能是不同的。作者将  $a_b$  和  $a_c$  设为相异值并重新运行了模型, 以检验其对系统行为的影响。 $a_b$  和  $a_c$  相异时, 可能有两种情况:(1)  $a_b$  大于  $a_c$ , 为了观察到更明显的效果, 此处取较极端的情况, 设  $a_b$  为  $a_c$  的 5 倍,  $a_b$  取  $0.15 \mu\text{molC} \cdot \mu\text{molq}^{-1}$ ,  $a_c$  取  $0.03 \mu\text{molC} \cdot \mu\text{molq}^{-1}$ ; (2)  $a_b$  小于  $a_c$ ,  $a_b$  取  $0.03 \mu\text{molC} \cdot \mu\text{molq}^{-1}$ ,  $a_c$  取  $0.15 \mu\text{molC} \cdot \mu\text{molq}^{-1}$ 。模拟的背景  $\text{Cl}^-$  浓度为  $10 \mu\text{mol} \cdot \text{L}^{-1}$  和  $500 \mu\text{mol} \cdot \text{L}^{-1}$ 。 $10 \mu\text{mol} \cdot \text{L}^{-1}$  是蓝藻细胞光合作用的表观半饱和  $\text{Cl}^-$  浓度,  $500 \mu\text{mol} \cdot \text{L}^{-1}$  是大气

$\text{CO}_2$  与水体达成平衡时的  $\text{Ci}$  浓度 (pH 8.0)。

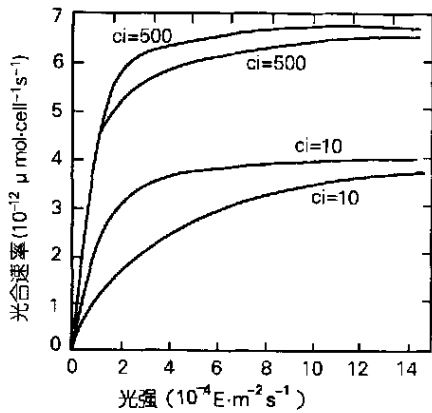


图 6  $a_b$  和  $a_c$  值相异时光合速率的变化

实线:  $a_b > a_c$ ; 虚线:  $a_b < a_c$

Fig. 6 Variations of the photosynthesis rate when  $a_b$  is in different with  $a_c$ .

由此引起的光合速率的变化见图 6。可见, 当  $\text{CO}_2$  泵的特征光能利用率高于  $\text{HCO}_3^-$  泵时(第 2 种情况,  $a_c$  大于  $a_b$ ), 细胞有更高的光合速率。对方程(2)和(4)进行分析可以看出, 将更多的能量分配给有较高的潜在最大反应速率的  $\text{CO}_2$  泵(即提高  $a_c$ ), 将比分配给  $\text{HCO}_3^-$  泵(提高  $a_b$ )能获得更大的实际转运速率。因此  $\text{CO}_2$  泵具有较高的光能利用率似乎是更合理的。在光成为限制因子的情况下, 这也可能是蓝藻更为有效地利用光的方式。同样, 如果  $\text{HCO}_3^-$  泵有较高的潜在最大反应速率, 则提高  $a_b$  会得到更高的光合速率, 这一点通过计算可以证实。

当  $a_b$  和  $a_c$  取相异值时, 各种  $\text{Ci}$  通量的变化则较为复杂。图 7 显示了各种  $a_b$ ,  $a_c$  组合的情况下净  $\text{HCO}_3^-$  及  $\text{CO}_2$  的吸收随光强的变化。外界  $\text{Ci}$  浓度为  $500 \mu\text{mol} \cdot \text{L}^{-1}$  时, 若  $a_b > a_c$ , 则  $\text{HCO}_3^-$  的吸收随光强的增加先增加而后减少; 若  $a_b < a_c$ , 则一直增加; 若  $a_b = a_c$ , 则表现为增加到一定程度后很快趋于饱和(图 7A)。 $\text{CO}_2$  吸收对不同的  $a_b$ ,  $a_c$  组合甚至表现出完全相反的吸收曲线(图 7B)。当外部  $\text{Ci}$  浓度为  $10 \mu\text{mol} \cdot \text{L}^{-1}$  时,  $\text{HCO}_3^-$  吸收的通量虽然不大, 但对不同的  $a_b$ ,  $a_c$  组合也表现出相反的吸收曲线(图 7C);  $\text{CO}_2$  的吸收则表现为持续的增长, 虽然各种  $a_b$ ,  $a_c$  组合下增长的幅度并不相同(图 7D)。

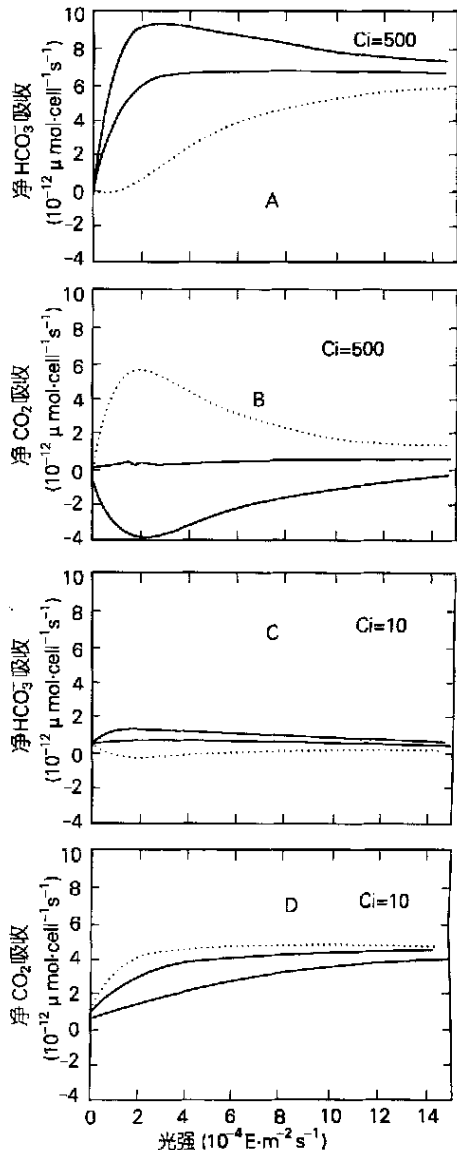


图 7 各种  $a_b$ ,  $a_c$  值组合下  $\text{Ci}$  通量随光强的变化

实线( $a_b > a_c$ ), 虚线( $a_b = a_c$ ), 点线( $a_b < a_c$ )。净  $\text{HCO}_3^-$  吸收(A, C), 净  $\text{CO}_2$  吸收(B, D)。背景  $\text{Ci}$  浓度分别为  $500 \mu\text{mol} \cdot \text{L}^{-1}$  (A, B) 和  $10 \mu\text{mol} \cdot \text{L}^{-1}$  (C, D)。

Fig. 7 Variations of the net  $\text{HCO}_3^-$  and  $\text{CO}_2$  uptake following the change of light intensity under various  $a_b$  and  $a_c$  combinations

从这些模拟结果给出的信息, 不难发现: 不同的  $a_b$ ,  $a_c$  组合将导致 CCM 的  $\text{Ci}$  吸收模式 ( $\text{HCO}_3^-$  吸收和  $\text{CO}_2$  吸收之间的比例)发生很大的变化; 反

之,由不同的吸收曲线的组合,可以推断  $a_b$  和  $a_c$  之间的相对大小。以此为理论依据,可以设计实验,测出蓝藻细胞各种 Ci 吸收随光强的变化,再与上述模拟结果进行比较,就能够定性,甚至定量地得到  $a_b$  和  $a_c$  的大小,从而为探索蓝藻细胞在 Ci 转运中能量分配的方式提供了一种可能的途径。这对于研究 CCM 的供能机理具有十分重要的意义。当然,在这之前,准确地测定藻细胞 Ci 转运的各种参数,如各种 Ci 泵的  $K_m$  和  $V_{max}$ ,是十分必要的。

### 3 小结

Ci 泵的供能机理是目前 CCM 研究中的热点问题之一。在目前测量技术难以满足实验要求的情况下,通过模型模拟的方法,分析 CCM 对光强变化的可能的反应规律,可以为将来的实验提供理论依据,对实验设计亦有一定的指导意义。本文所得的结果

尚有待实验证实。

### 参考文献

- 1 Kaplan A., Reinhold L.. *Ann. Rev. Plant Physiol. Plant Mol. Biol.*, 1999, 50: 539~570
- 2 Hein M., Sand-Jensen K.. *Nature*, 1997, 388: 526~527
- 3 Kaplan A. et al.. *Can. J. Bot.*, 1998, 76: 917~924
- 4 Price G.D. et al.. *Can. J. Bot.*, 1998, 76: 973~1002
- 5 Reinhold L. et al.. Organic carbon fluxes and photosynthesis in cyanobacteria - a quantitative model. In: Biggins J. (Ed.), *Progress in Photosynthesis Research*, 1987, 4: 289~296
- 6 Li Q., Canvin D.T.. *Plant Physiol.*, 1998, 116: 1125~1132
- 7 Tchernov D. et al.. *Can. J. Bot.*, 1998, 76: 949~953

## EFFECT OF LIGHT ON THE CYANOBACTERIAL CO<sub>2</sub> CONCENTRATING MECHANISM

FU Xiang<sup>1</sup> HAN Bo-ping<sup>1,2</sup>

(<sup>1</sup>Institute of Hydrobiology, Jinan University, Guangzhou, 510632)

(<sup>2</sup>Institute of Oceanology, Chinese Academy of Sciences, Qingdao, 266071)

Received: Aug. 9, 2001

Key Words: CO<sub>2</sub> concentrating mechanism (CCM), Model, Light intensity

### Abstract

As the key process in CCM, inorganic carbon (Ci) transport, is energized by light, its activity is in close relation to light intensity. A mathematical model including both the variable of eternal Ci concentration and that of light intensity is developed to find how the cyanobacterial CO<sub>2</sub> concentrating mechanism (CCM) responses to the change of light intensity. The result shows: (1) photosynthetic rate and concentrating efficiency will rise with increasing light intensity; (2) variations of the characteristic light utilization efficiency of the Ci pumps can markedly change the response mode of CCM to light intensity.

(本文编辑:张培新)